

11

## Преобразование бистабильных хаотических колебаний в триггерах кольцевой системы

© Б.Е. Железовский, Э.В. Кальянов

Саратовский государственный университет им. Н.Г. Чернышевского  
E-mail: kafedrafimit@yandex.ru, ervask@mail.ru

Поступило в Редакцию 18 марта 2014 г.

Представлены уравнения, описывающие кольцевую систему трех однонаправленно связанных генераторов Чуа (подсистем). Проведен численный анализ для случая, когда лишь одна из них является автоколебательной. Показано, что в неавтоколебательных подсистемах, упрощенных до ждущих триггеров, происходит усложнение контурных колебаний, сопровождающееся умножением частот колебаний и расширением генерируемого спектра частот.

В настоящее время известно большое число генераторов хаотических колебаний [1], но схема Чуа [2] остается одной из наиболее простых для практической реализации. Она отличается от схемы классического триггера лишь наличием емкости, шунтирующей индуктивный элемент, что не умаляет значимости получающегося хаотического генератора, а показывает, как незначительное изменение схемы может приводить к принципиально новым эффектам.

Исследовались различные модификации генератора Чуа с целью большего перемешивания фазовых траекторий. Рассматривалась также и возможность создания на его основе кольцевой хаотической системы из идентичных генераторов (подсистем) при однонаправленной связи [3]. Одной из возможных модификаций генераторов Чуа, позволяющей улучшить спектральные свойства генерируемого хаоса, представляется кольцевая система, состоящая из однонаправленно связанных неидентичных ячеек, когда лишь одна из них является автоколебательной. В представленной работе рассмотрена такая система, состоящая из трех однонаправленно связанных неидентичных ячеек.

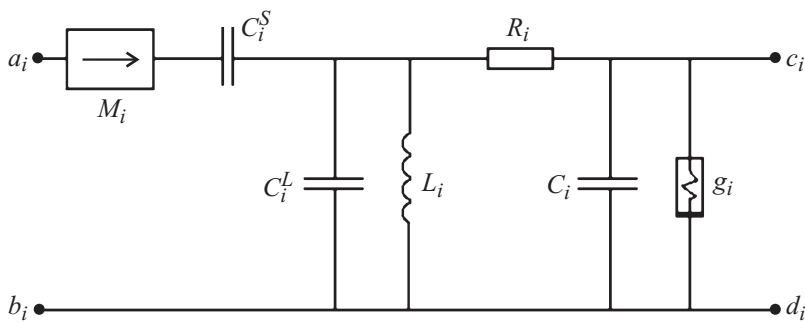


Рис. 1. Принципиальная схема парциальной ячейки.

При емкостной однонаправленной связи трех генераторов Чуа схема одной  $i$ -й ячейки ( $i = 1, 2, 3$ ), содержащей однонаправленный элемент  $M_i$ , показана на рис. 1. Кольцевая система образуется из парциальных ячеек путем соединения точек  $c_i, d_i$  ячейки с индексом  $i$  с точками  $a_{i+1}, b_{i+1}$  ячейки с индексом  $i + 1$ . Система замыкается в кольцо, когда точки  $c_3, d_3$  третьей ячейки соединяются с точками  $a_1, b_1$  первой ячейки.

Если опустить индексы  $i$ , то при  $M = C^S = 0$  рис. 1 отображает известную схему генератора Чуа, а при дополнении этого условием  $C^L = 0$  — схему классического триггера.

В общепринятой форме [2] нормированные уравнения генератора Чуа, к сожалению, не позволяют получить уравнения триггера, так как безразмерное время в уравнениях Чуа определяется соотношением  $\tau = t/RC^L$ , тогда как в триггере  $C^L = 0$ . С целью получения нормированных уравнений Чуа, из которых в частном случае получаются уравнения триггера, для безразмерного времени следует использовать соотношение

$$\tau = \frac{t}{RC}. \quad (1)$$

Использование этого соотношения при нормировании уравнений Чуа представляется важным для понимания физических процессов. То обстоятельство, что триггер лежит в основе генератора Чуа, определяет механизм работы хаотической автоколебательной системы. Именно благодаря двум устойчивым состояниям триггера формируется

аттрактор в виде двойного завитка (double scroll). Механизм хаотизации движений можно представить как нерегулярное переключение ударно возбуждающихся колебаний, определяющихся параметрами колебательного контура, образующегося при подключении емкости к индуктивному элементу триггера. Переключение колебаний обусловлено наличием эффекта бистабильности, определяемой схемой триггера, и переходом из одной области притяжения в другую при нарастании ударно возбуждающихся колебаний.

При использовании безразмерного времени в форме, аналогичной соотношению (1), а именно как  $\tau = t/R_1C_1$ , уравнения трехячейковой кольцевой системы с однонаправленной связью между ячейками при  $M_i = 1$  можно представить в виде

$$\begin{aligned} dx_1/d\tau &= (\delta_1/\alpha_1)[y_1 - x_1 - h_1(x_1)], \\ dy_1/d\tau &= [1/(\gamma_1 + \sigma_1)]\{\gamma_1(\delta_3/\alpha_3)[y_3 - x_3 - h_3(x_3)] \\ &\quad + \delta_1(x_1 - y_1 + z_1)\}, \\ dz_1/d\tau &= -(\beta_1\delta_1/\alpha_1)y_1, \end{aligned} \quad (2a)$$

$$\begin{aligned} dx_2/d\tau &= (\delta_2/\alpha_2)[y_2 - x_2 - h_2(x_2)], \\ dy_2/d\tau &= [1/(\gamma_2 + \sigma_2)]\{\gamma_2(\delta_1/\alpha_1)[y_1 - x_1 - h_1(x_1)] \\ &\quad + \delta_2(x_2 - y_2 + z_2)\}, \\ dz_2/d\tau &= -(\beta_2\delta_2/\alpha_2)y_2, \end{aligned} \quad (2b)$$

$$\begin{aligned} dx_3/d\tau &= (\delta_3/\alpha_3)[y_3 - x_3 - h_3(x_3)], \\ dy_3/d\tau &= [1/(\gamma_3 + \sigma_3)]\{\gamma_3(\delta_2/\alpha_2)[y_2 - x_2 - h_2(x_2)] \\ &\quad + \delta_3(x_3 - y_3 + z_3)\}, \\ dz_3/d\tau &= -(\beta_3\delta_3/\alpha_3)y_3, \end{aligned} \quad (2c)$$

где

$$\begin{aligned} \alpha_i &= C_i/C_1, \quad \sigma_i = C_i^L/C_1, \quad \beta_i = C_i/L_iG_i^2, \quad G_i = 1/R_i \\ \delta_i &= G_i/G_1, \quad \rho_i = R_i^L/R_i, \quad \gamma_i = C_i^S/C_1. \end{aligned}$$

Для функции  $h_i(x_i)$ , описывающей характеристику нелинейного элемента  $g_i$ , при численном анализе используется аппроксимация

$$h_i(x_i) = -D_i \operatorname{arctg}(x_i), \quad (3)$$

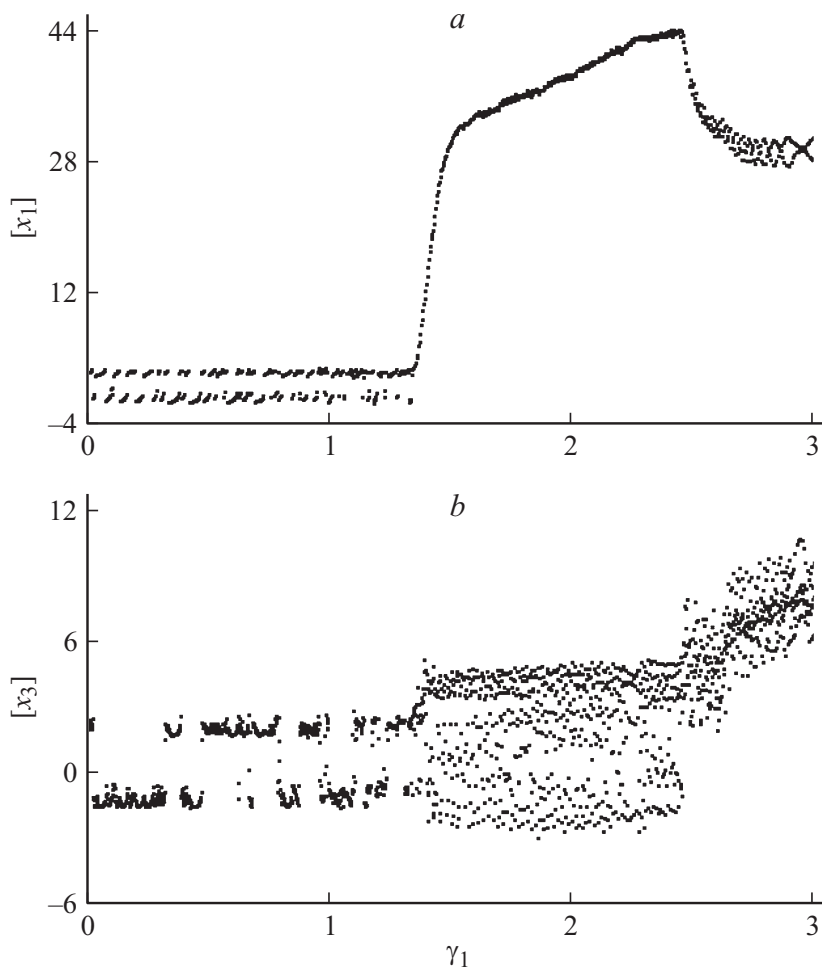
где  $D_i$  — постоянная.

Для удобства, в дальнейшем (и при расчетах) безразмерное время обозначается снова через  $t$ .

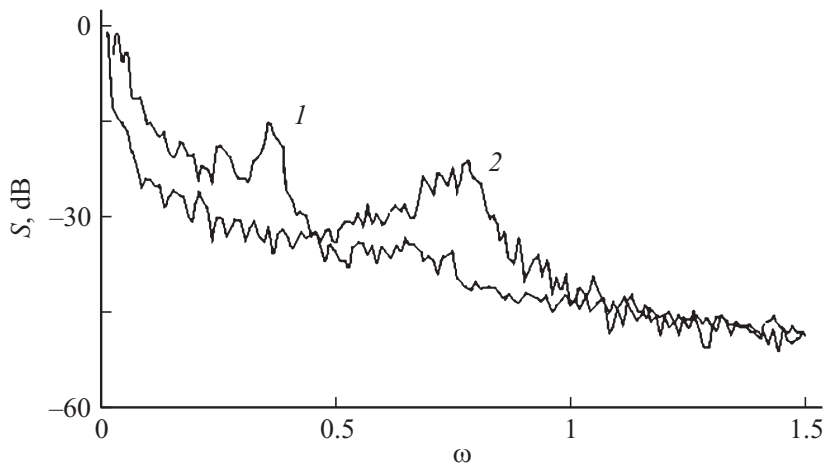
На рис. 2 показаны бифуркационные диаграммы, иллюстрирующие изменение режимов работы трехячейковой системы при увеличении параметра связи  $\gamma_1$ , когда  $\gamma_2 = 1.8$ ,  $\gamma_3 = 1.2$ . Рис. 2, *a* отображает изменение максимальных значений колебательного процесса первой подсистемы, а рис. 2, *b* — третьей. Численный анализ проводился при следующих величинах неизменяемых параметров:  $D_i = 1.6$ ,  $\beta_i = 1.586$ ,  $\sigma_1 = 9$ ,  $\sigma_2 = \sigma_3 = 0$ ,  $\alpha_i = \delta_i = 1$ . Начальные условия определялись значениями  $x_1(0) = 0.1$ ,  $x_2(0) = x_3(0) = y_i(0) = z_i(0) = 0$ . При выбранных параметрах первая подсистема представляет собой генератор Чуа, а вторая и третья — триггеры. При выбранных параметрах устойчивые состояния триггеров, а также и центры областей притяжения генератора реализуются при  $x_i = \pm 2$ .

В соответствии с рис. 2 аттрактор типа двойной завиток реализуется при увеличении параметра  $\gamma_1$  до величины  $\gamma_1 \approx 1.38$ . Это отображается наличием двух областей разброса точек, соответствующих максимальным значениям колебательных процессов в бассейнах притяжения. Более значительная нерегулярность разброса этих точек наблюдается в колебаниях третьей подсистемы. При  $\gamma_1 > 1.38$  происходит срыв движений, которым соответствует аттрактор типа двойной завиток. При этом в третьей подсистеме колебания остаются сложными — им не соответствует большой предельный цикл.

Колебания в трехячейковой системе существенно иные, чем в случае обычного генератора Чуа. Наряду с усложнением нерегулярных движений в реализациях колебаний  $x_3(t)$  наблюдалось изменение (увеличение) частоты колебаний в областях устойчивости (бассейнах притяжения) триггерных ячеек, что свидетельствует о наличии эффекта умножения частоты. Наблюдалась также своеобразная перемежаемость движений, проявлявшаяся в наличии колебаний как вблизи частоты  $\omega \approx 0.35$ , так и на вдвое большей частоте



**Рис. 2.** Изменение максимальных значений колебательного процесса в первой (a) и третьей (b) подсистемах в зависимости от параметра обратной связи  $\gamma_1$ .



**Рис. 3.** Спектры мощности колебаний в автономном генераторе Чуа (кривая 1) и в третьей ячейке однонаправленно связанных подсистем (кривая 2).

Эффекты умножения частоты и перемежаемость, приводящие к смещению и расширению генерируемого спектра частот, отображаются также спектрами мощности. В то время как в обычном генераторе Чуа хаотические колебания, определяемые бассейнами притяжения, занимают диапазон частот в окрестности частоты  $\omega \approx 0.35$  (кривая 1, рис. 3), колебания в третьей ячейке цепочки смещены к частоте  $\omega \approx 0.7$  и занимают более широкий диапазон частот (кривая 2, рис. 3). Наблюдавшиеся реализации колебаний также отображали усложнение движений в рассматриваемой цепочке и большее перемешивание фазовых траекторий, чем в случае обычного генератора Чуа.

Результаты численного анализа однонаправленно связанных трех бистабильных ячеек, проведенные применительно к режимам, когда автоколебательной подсистемой является одна ячейка, свидетельствуют о возможности управления хаотическими колебаниями связанной кольцевой системы. Благодаря возникающим эффектам перемежаемости колебаний между бассейнами притяжения и умножения колебаний возможно получение в бистабильной кольцевой системе хаотических

колебаний с хорошим перемешиванием фазовых траекторий. Спектр хаотических колебаний расширяется и смещается в область высоких частот.

### **Список литературы**

- [1] *Дмитриев А.С., Ефремова Е.В., Максимов Н.А., Панас А.И.* Генерация хаоса / Под общ. ред. А.С. Дмитриева. М.: Техносфера, 2012. 424 с.
- [2] *Кузнецов С.П.* Динамический хаос (курс лекций). М.: Изд. физ.-мат. лит., 2001. С. 91.
- [3] *Кальянов Э.В.* // Письма в ЖТФ. 2001. Т. 37. В. 19. С. 30–36.